



## تقنية تكميم اتجاهي جديدة للكتابة المغطاة في JPG

أنسام أسامة عبد المجيد

أحمد سامي نوري

جامعة الموصل - كلية علوم الحاسوب والرياضيات

### الخلاصة:

يهدف البحث إلى تصميم وتنفيذ خوارزمية جديدة للكتابة المغطاة في الصور الملونة ضمن مجال الكبس باستخدام خوارزمية التكميم الاتجاهي (Vector Quantization (VQ)، كون الملف المكبوس يعد غطاءً آمناً للبيانات المضمنة ويُجذب إثارة انتباه الأشخاص غير المخولين، ويوفر كلاً من كلفة وزمن النقل والخرن. وتهدف الخوارزمية إلى زيادة كمية سعة التضمين مع المحافظة على جودة الصورة، فضلاً عن تقليل زمن عملية الاستخلاص. الخوارزمية المقترحة نُفِّذت باستخدام Matlab 2009a، واعتمدت في تضمين البيانات في كل فهرس على باقي قسمته على ٤ وعلى مفتاح سري مشترك بين الطرفين، كما استخدمت صوراً رمادية وملونة بأبعاد مختلفة للامتداد (JPG) بعد كبسها لتكون غطاءً للبيانات السرية التي كانت نصاً أو صورة. تبين من البحث أن الخوارزمية المقترحة قد حافظت على جودة عالية للصورة على الرغم من سعة التضمين العالية التي وصلت إلى استيعاب حجم الغطاء بالكامل، كما أن عدم الحاجة لوجود دليل الصورة لاستخلاص البيانات في الخوارزمية قلل زمن الاستخلاص وبشكل كبير.

### معلومات البحث:

تاريخ التسليم: ٠٠/٠٠/٠٠  
تاريخ القبول: ٠٠/٠٠/٠٠  
تاريخ النشر: ٢٠١٢ / ١٢ / ٩  
DOI: 10.37652/juaps.2012.63372

### الكلمات المفتاحية:

تقنية تكميم اتجاهي ،  
الكتابة المغطاة ،  
JPG.

### المقدمة

البيانات. وقد تكون الأغذية ملفات نصية أو صوتية أو فيديوية، ويمكن أن تكون البيانات السرية نصاً صريحاً أو مشفراً أو أية معلومات يمكن تمثيلها على شكل سلسلة من الخلايا الثنائية (Bits). والهدف من الكتابة المغطاة هو نفي الشك بوجود تناقل بيانات سرية [٣].

### متطلبات الكتابة المغطاة

إن المتطلبات التي يجب مراعاتها في تصميم خوارزميات الكتابة المغطاة هي [٤] [الشكل (١)]:

- (١) السعة Capacity: تشير إلى كمية البيانات التي يمكن تضمينها ضمن غطاء معين.
- (٢) عدم القدرة على الاكتشاف Undetectability: وتعني عدم قدرة الشخص غير المخول على كشف البيانات المضمنة.
- (٣) الصلابة Robustness: تشير إلى مدى مقاومة stego-message لهجمات الشخص غير المخول المختلفة قبل تحطيم البيانات المضمنة.

وتعتمد سرية نظام الكتابة المغطاة بالدرجة الأساس على عدم قدرة الشخص غير المخول على التمييز بين الغطاء و-stego-message [٥]، ولذلك فإن نجاح النظام يعتمد على سرية الغطاء وعندما يكون الغطاء معلناً فإن نجاح النظام يعتمد على مدى صلابة الخوارزمية المستخدمة. وتتم المحافظة على سرية النظام بجعل الغطاء أكثر صلابة أو باكتشاف أغذية أكثر سرية [٦]. ولأن خوارزميات

نتيجة التطور الكبير في تقنيات الشبكات أصبح بإمكان الكثيرين الاتصال مع بعضهم البعض بسهولة وبسرعة عبر الانترنت. ولأن الإنترنت بيئة عامة ومفتوحة فإمكان أي شخص غير مخول مراقبة معلومات متناقلة بين أي طرفين واعتراضها أو الحصول عليها؛ لذا فإن أهمية توفير الأمانة لتلك المعلومات تتزايد يوماً بعد يوم للحفاظ على سريتها [١].

هناك تقنيتان لتوفير الأمانة للمعلومات المتناقلة وهما التشفير (Encryption) والكتابة المغطاة (Steganography)، إذ يهدف التشفير إلى إعادة صياغة البيانات بواسطة مفتاح التشفير بحيث تبدو غير مفهومة لكنها لا تخفي حقيقة وجود اتصال سري بين طرفين مما دفع الكثيرين نحو استخدام الكتابة المغطاة؛ إذ أنها تقنية تُضمّن بيانات سرية داخل بيانات أخرى بصورة لا يمكن ملاحظتها مما يخفي حقيقة وجود بيانات سرية متناقلة [٢].

### الكتابة المغطاة

وهي طريقة لإرسال بيانات سرية من خلال تضمينها في وسائط تعد غطاءً حاملاً لها بصورة يتعذر بها تمييز وجود تلك

\* Corresponding author at: University of Mosul - College of Computer Science and Mathematics;

تضمينها، ويحتاج المستلم إلى الدليل لإعادة عمليات العنقدة من جديد وإرجاع عدد CWs في كل عنقود والذي يمثل البيانات المضمنة [7]. كما اعتمد Chang and Lin [8] على تحليل المركبات الرئيسية Principal Component Analysis (PCA) في إعادة ترتيب الدليل وقد ضمن  $r$  من الخلايا الثنائية في الفهارس بطريقة LSB، لكن التضمين لم يحصل على الفهارس كلها؛ لأن العملية تعتمد على قيمة حد عتبة معرفة مسبقاً والتي تقارن مع الفرق بين CW الحالي بعد التضمين في فهرسه وبين CW المشار إليها بالفهارس المجاورة للفهرست الجديد وعليه فإن المستلم يحتاج إلى الدليل وقيمة  $r$  وحد العتبة لتحديد الفهرست الذي تم فيه التضمين [8].

بينما اقترح Chang and Lu [9] طريقة للتضمين تعتمد على خوارزمية

Side-Match Vector Quantization (SMVQ) إذ رُمزت كتل الصورة التي تقع في الصف الأول والعمود الأول بالطريقة التقليدية ولم تُضمّن أي بيانات سرية فيها، ورُمزت باقي الكتل بطريقة SMVQ حيث تم تكوين دليل Side Match، ثم قُسم إلى قسمين متماثلين كل قسم مخصص لتضمين قيمة خلية ثنائية 1 أو 0 [9].

وقد كَوّن Shie [10] دليلين: الأول مخصص لترميز (Smooth Area) باستخدام SMVQ مع تضمين البيانات في تلك المناطق، والثاني مخصص لترميز (Complex Area) بالطريقة التقليدية ولم تُستخدم في التضمين. ويحتاج المستلم إلى وجود الدليلين لغرض استخلاص البيانات المضمنة [10].

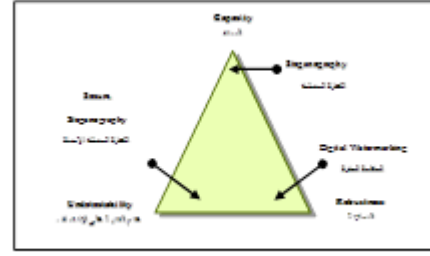
#### خوارزمية التكميم الاتجاهي

وهي من أكثر الخوارزميات شيوعاً واستخداماً في كبس ملفات الصور إذ إن المبدأ الأساس الذي تقوم عليه هذه الخوارزمية هو استخدام نماذج تقريبية لتمثيل عدد من الكتل المماثلة في الصورة [11]. يطلق على الكتل الصورية التقريبية (CW) Codewords ويطلق على مجموعة CWs الدليل (CB) Codebook الذي يُكوّن قبل البدء بعملية الكبس [12]. يمكن التعبير عن التكميم الاتجاهي بأنه عملية اقتران Q (Mapping) بين كل متجه من متجهات الصورة  $x$  ومتجه واحد من متجهات الدليل C إذ أن:  $C = \{y_i, i=1, 2, \dots, n\}$ ، في حين تمثل كل  $y_i$  واحدة من CWs ضمن ذلك الدليل [7].

$$Q(x) = y_i, x \in R^{k \times k} \dots \dots \dots (1)$$

تُقسّم الصورة إلى مجموعة من الكتل غير المتداخلة بأبعاد  $(k \times k)$  نقطة صورية وتمثل بمتجه ذي بعد  $k^2$ . ويتحقق الكبس من خلال التعويض عن كل متجه من متجهات الصورة بفهرست من فهارس الدليل بالاعتماد على CW المماثلة له وبذلك تمثل الصورة المكبوسة بمجموعة من الفهارس ويطلق عليها جدول الفهارس (Index Table)

الكتابة المغطاة توفر الاتصال السري من نقطة- إلى- نقطة فهي عادة ليست بحاجة إلى الصلادة أو قد تتمتع بمستوى محدود منها [4].



الشكل (1): متطلبات الكتابة المغطاة [4]

#### تصنيفات الكتابة المغطاة

تصنف الكتابة المغطاة بالاعتماد على المجال الذي تحدث فيه عملية التضمين إلى:

(1) **الكتابة المغطاة في المجال المكاني Spatial Domain Steganography**: تقوم على أساس استبدال قيم النقاط الضوئية (Pixel) بالخلايا الثنائية السرية ومن أشهرها خوارزمية استبدال الخلية الثنائية الأقل أهمية (LSB) التي تستبدل قيمة تلك الخلية من كل نقطة بخلية ثنائية من البيانات السرية [7].

(2) **الكتابة المغطاة في مجال التردد Frequency Domain Steganography**: تُطبق هنا بعض التحويلات مثل تحويل (DFT) وتحويل (DWT) وتحويل (DCT) على الغطاء لتحويله إلى مجال التردد أولاً، ومن ثم تُضمّن البيانات السرية ضمن المعاملات [7].

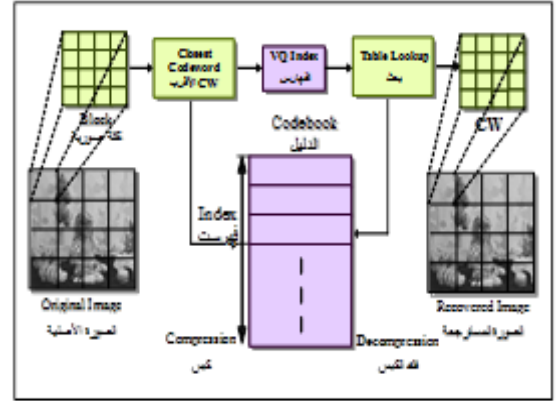
**الكتابة المغطاة في مجال الكبس Compression Domain Steganography**: ركز في السنوات الأخيرة على تضمين البيانات في مجال الكبس، إذ أن تناقل الملف المكبوس يبعد الشك أكثر مما لو نقل بصورته الأصلية [8]. ويعد التضمين في ملف مكبوس أكثر تعقيداً؛ لأن حجم الملف المكبوس يكون أقل من حجم الملف الأصلي مما يجعل التوفيق بين كمية البيانات المضمنة والمحافظة على جودة الصورة مفيداً لدرجة كبيرة. إن معظم الدراسات السابقة تركزت على تضمين البيانات السرية ضمن مجال الكبس المعتمد على خوارزمية التكميم الاتجاهي لفاعليتها في تخفيض حجم الملف مع المحافظة على جودة الصورة نسبياً [1].

#### دراسات سابقة

قدم Du and Hsu [7] طريقتين، اعتمدت الأولى على تقسيم الدليل إلى دليلين فرعيين متماثلين وضمنت البيانات في LSB للفهارس بعد أن تم ترتيب الدليل بحسب معدل القيم اللونية. أما الثانية فقد اعتمدت على مبدأ العنقدة (Clustering) لتجميع CW المتشابهة تقريبا في عنقود واحد، وتستمر عملية العنقدة إلى أن يصبح عدد CWs في العنقود الذي ينتمي إليه CW الحالي مساويا للبيانات المراد

بعد تحديد بُعد المكمم الاتجاهي (2×2) و(4×4) وطول دليل 256.

[12]، أما عملية فك الكبس فهي عملية تعويض عن كل فهرست بقيم CW المقابل له [7] لاحظ الشكل (2).



الشكل (2): عمليتي الكبس و فك الكبس بواسطة خوارزمية التكميم الإتجاهي [13]

(2) إعادة ترتيب الدليل: تُرتب الخوارزمية الدليل الناتج بتطبيق تحليل PCA مما يجعل CWs المتقاربة متجاورة مع بعضها البعض، إذ تم إعادة ترتيب CWs تصاعدياً بالاعتماد على قيم نقاط تسقيطها على محور المركب الرئيس الأول، ويعد ترتيب الدليل مهماً جداً لتكوين الصورة الغطاء وإكمال عملية التضمين بصورة صحيحة وبأقل تشوه.

(3) الكبس: تم كبس الصورة بواسطة VQ وبعتماد الدليل المرتب للحصول على الغطاء.

(4) تهيئة بيانات سرية: تُقسم البيانات السرية المضمنة إلى قسمين: نص و صورة، وتعتمد الخوارزمية تضمين الكتلة الثنائية (0) في نهاية البيانات المضمنة للإشارة إلى نهاية البيانات السرية، ويضاف بعدها في حالة تضمين صورة كتلة ثنائية تمثل الطول ثم كتلة ثنائية تالفة تمثل العرض ليتمكن المستلم من إعادة تشكيل الصورة المسترجعة.

(5) تضمين البيانات السرية: اعتمدت الخوارزمية على قانون المسافة الاقليدية بين الفهرست الحالي والفهرسين المجاورين في ايجاد CW الأقرب حيث:

$$I' = \min(dU, dL) \dots \dots \dots (3)$$

$$dU = d(I, U) = \sqrt{\sum_{i=1}^{k \times k} (y_{L,i} - y_{U,i})^2} \dots \dots \dots (4)$$

$$dL = d(I, L) = \sqrt{\sum_{i=1}^{k \times k} (y_{L,i} - y_{L,i})^2} \dots \dots \dots (5)$$

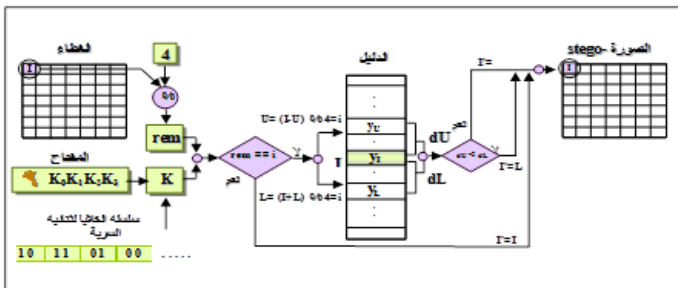
I': تمثل الفهرست الجديد بعد عملية التضمين.

dU: تمثل مقدار المسافة الاقليدية بين الفهرست الحالي (I) والفهرست السابق (U).

dL: تمثل مقدار المسافة الاقليدية بين الفهرست الحالي (I) والفهرست اللاحق (L).

y<sub>U</sub>: يمثل CW الحالي.

y<sub>L</sub> و y<sub>U</sub>: يمثلان CW السابق واللاحق على التوالي.



الشكل (3): مخطط بوضوح خوارزمية التضمين

إن غاية خوارزمية التكميم الإتجاهي هي تقليل التشوه (Distortion) بين متجهات الصورة الأصلية x والمتجهات الناتجة بعد فك الكبس x<sup>^</sup>، ويقصد بالتشوه معدل البعد بين أي متغيرين، ويشار إلى مقدار التشوه بين x و y بـ [14] d(x,y) ويحسب من القانون الآتي:

$$d(x, y) = \|x - y\|^2 = \sum_{i=1}^{k^2} (x_i - y_i)^2 \dots \dots \dots (2)$$

حيث ||·|| تمثل المسافة الاقليدية.

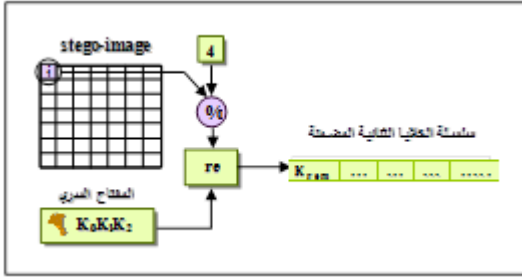
إن من أهم القضايا التي تركز عليها خوارزمية التكميم الإتجاهي تكوين دليل جيد، وتعد خوارزمية LBG التي قُدمت من قبل الباحثين Linde و Buzo و Gray من أكثر طرائق توليد الدليل شيوعاً، وتتضمن تقسيم مجموعة الترتيب والبدء بتهيئة دليل ابتدائي ثم تحديثه بصورة تكرارية بإضافة CW جديدة إليه بحيث تحقق أقل تشوه، وفي كل تكرار نقل قيمة هذا التشوه أو تبقى ثابتة كما كانت في التكرار السابق، وتتوقف هذه العمليات عندما تصبح قيمة التشوه أقل من قيمة معرفة مسبقاً [14].

### الخوارزمية المقترحة:

تتلخص الخوارزمية المقترحة في تضمين خيلتين ثنائيتين سريتين في كل فهرست من جدول الفهارس بالاعتماد على باقي قسمة ذلك الفهرست على العدد 4 وعلى قيمة المفتاح السري، ويتم التضمين من خلال تبديل قيمة الفهرست الحالي بأحد الفهرسين (السابق أو اللاحق) بحيث ينسجم باقي قسمة الفهرست الجديد مع المفتاح السري مع مراعاة اختيار الفهرست الأقرب من بين هذين الفهرسين إلى الفهرست الحالي للمحافظة على جودة الصورة.

خوارزمية التضمين: وتتكون من:

(1) توليد الدليل: استُخدمت الخوارزمية تقنية التجزئة في توليد الدليل الابتدائي، وأكملت توليد الدليل النهائي بتطبيق خوارزمية LBG



الشكل (٤): مخطط يوضح خوارزمية الاستخلاص

#### ٨- قياس كفاءة الخوارزمية

قيست كفاءة الخوارزمية المقترحة باعتماد المعايير الرئيسية لتقييم كفاءة خوارزميات الكتابة المغطاة ضمن مجال الكبس المعتمد على خوارزمية التكميم الاتجاهي وكالاتي [١٢]:

(١) مقياس PSNR: تم حسابه بين (الغطاء و stego-image) للتأكد من جودة الصورة الناتجة.

(٢) نسبة الكبس Compression Ratio: وتحسب من خلال القانون الآتي:

$$CR = \frac{\text{number of bits in compressed stream}}{\text{number of pixels in VQ image}} \text{ (bpp) } \dots (6)$$

(٣) سعة التضمين Embedding Capacity (EC): ويقصد بها الحد الأعلى لعدد الخلايا الثنائية التي يمكن أن تُضمّن ضمن جدول الفهارس [١]. وتحسب من خلال المعادلة الآتية:

$$nBits = (H' \times W' \times 2) - x \text{ bits} \dots \dots \dots (7)$$

$H', W'$  أبعاد الصورة المغطاة، و  $x$  الكتلة الثنائية الإضافية (حالة النص = ٨) (حالة الصورة = ٤).

(٤) كفاءة التضمين Embedding Efficiency (EE): وتحسب من خلال المعادلة الآتية:

$$EE = \frac{\text{number of secret bits}}{\text{number of bits in a compressed stream}} \dots \dots (8)$$

#### عرض النتائج ومناقشتها

أجريت اختبارات متعددة للخوارزمية المقترحة على صور JPG مختلفة الأبعاد رمادية وملونة، مع تضمين نص وصورة كل على حدة مع قيم مختلفة من المفتاح السري، الجدول (٢):

جدول (٢): نتائج تضمين نص في صور JPG رمادية

BER %	PSNR in dB الغطاء/ stego (بعد الكبس)	سعة التضمين القصوى (Bit)	تعدد الاتجاهي (Pixel)	الأبعاد (Pixel)	الصورة الأصلية
٠	٤١.٦٠٠٦	٣٤٢٨١	٤	٦٠٠×٥٠٠	Ship.JPG
٠	٤١.٣٢٢٣	١٢٩٩٨٢	٢		
٠	٤٣.٥٥١١	٣١٥٣٣	٤	٥١٢×٥١٢	Fish.JPG

خصصت الخوارزمية المقترحة خليتين ثنائيتين مختلفتين لكل ناتج من نواتج باقي القسمة حسب قيمة المفتاح السري الذي يتكون من أربعة أرقام هي (0,1,2,3) مرتبة بصورة عشوائية (على سبيل المثال 1032) وخوارزمية التضمين موضحة في الشكل (٣).

إن باقي قسمة الأعداد على ٤ تنحصر ضمن الفترة (0,3)؛ لذلك فإن البيانات المضمنة قد تكون 00 أو 01 أو 10 أو 11. كما ان استخدام المفتاح Key=K<sub>0</sub>K<sub>1</sub>K<sub>2</sub>K<sub>3</sub> الذي يتكون من أربعة أرقام (0,1,2,3) مرتبة بصورة عشوائية (مثلاً 1032 أو 3210 أو حسب الاتفاق بين الطرفين) أضاف مستوى آخر للسرية إذ تعتمد الخوارزمية في حالة كون البيانات هي K<sub>i</sub> إلى تبديل الفهرست الحالي بأحد الفهرسين المجاورين له بحيث يصبح باقي قسمة الفهرست المستبدل على ٤ مساوياً ل (i)، الجدول (١).

جدول (١): تطبيق التضمين على الفهارس بالاعتماد على باقي القسمة على ٤ وعلى المفتاح السري

قيمة الخليتين السريتين	باقي قسمة الفهرست الحالي على ٤ (I)	قيمة الفهرست السابق	قيمة الفهرست اللاحق	قيمة الفهرست الجديدة (I')
K <sub>0</sub>	٠	--	--	I
	١	I-1	I+3	I: فهرست الأقرب CW
	٢	I-2	I+2	I: فهرست الأقرب CW
K <sub>1</sub>	٠	I-3	I+1	I: فهرست الأقرب CW
	١	--	--	I
	٢	I-1	I+3	I: فهرست الأقرب CW
K <sub>2</sub>	٠	I-2	I+2	I: فهرست الأقرب CW
	١	I-3	I+1	I: فهرست الأقرب CW
	٢	--	--	I
K <sub>3</sub>	٠	I-1	I+3	I: فهرست الأقرب CW
	١	I-2	I+2	I: فهرست الأقرب CW
	٢	I-3	I+1	I: فهرست الأقرب CW
	٣	--	--	I

#### خوارزمية الاستخلاص

يقوم المستلم باستخلاص البيانات السرية بالاعتماد على قيمة المفتاح السري نفسه، ولا يحتاج لوجود الدليل لغرض استخلاص البيانات إذ يحسب المستلم باقي قسمة الفهارس على ٤ ويطابق الناتج مع المفتاح السري ليحصل على القيمة المضمنة بصورتها الصحيحة، فإذا كان باقي قسمة فهرست معين يساوي i فإن القيمة المضمنة فيه هي K<sub>i</sub> وكما مبين في الشكل (٤).

تم احتساب قيمة PSNR من خلال إيجاد معدل قيمها للمستويات اللونية الثلاثة فكانت قيمتها تساوي Inf لأن عملية التضمين استخدمت المستوى اللوني الأحمر فقط، ولغرض إثبات تلك القيمة تم احتسابها بعد التحويل إلى النظام اللوني YCbCr واعتماد المستوى Y فقط، فكانت النتائج كما هو مبين في الجدول ضمن الحقل نفسه. وتشير قيم BER إلى أن هناك نسبة فقدان ضئيلة جداً للمعلومات المضمنة في الصور الملونة نتيجة تأثرها بالكبس، إلا أن هذه النسبة كانت غير ملحوظة إذا ما قورنت بطول النص المضمن. أما نتائج تضمين صور رمادية في صور ملونة فكما هو مبين في الجدول (٥).

جدول (٥): نتائج تضمين صور رمادية في صور JPG ملونة

BER %	PSNR in dB الغطاء/الغشاء (بعد الكبس)	أبعاد الصورة السرية (Pixel)	الصورة السرية	بُعد المكتم الاتجاهي (Pixel)	الأبعاد Pixel	الصورة الأصلية
0.3	51.0231	30×34	Key	4	256 ×256	Fruit .JPG
0.4	52.4110	48×50	Boy	٢		
0.3	50.1912	45×45	Bird	٤	٤٠٠ ٥٠٠×	Garden .JPG
0.4	51.0012	91×91	Moon	٢		
0.2	51.6540	30×34	Key	٤	256 ×256	Sky .JPG
0.2	51.5321	64×63	cartoon	٢		

بلغت نسبة كبس أي صورة في الخوارزمية المقترحة (2 bpp) إذا كان بُعد المكتم الاتجاهي ٢×٢، وتزداد نسبة الكبس إلى ( 0.5 bpp) عندما يزداد بُعد المكتم الاتجاهي إلى ٤×٤. كما بلغت كفاءة تضمين الخوارزمية المقترحة 0.23 والمحسوبة من المعادلة (٨). وقد أجريت التجارب باستخدام حاسوب نوع Pentium4 بمواصفات ( CPU = 1.60 GHz ، RAM = 1 GB). ولابد من الإشارة إلى أن الزمن المستغرق في التضمين تضمن زمن توليد دليل الصورة الذي يزداد بازدياد الأبعاد وتقليل بُعد المكتم الاتجاهي. كما أن زمن التضمين في الصور الملونة كان أعلى منه في الصور الرمادية نتيجة لزيادة الوقت المستغرق في توليد دليل الصور الملونة.

#### الاستنتاجات

يمكن المحافظة على جودة الصورة من خلال إضافة شروط مقيدة لاختيار CWs مناسبة أثناء عملية التضمين. كما إن استخدام الدليل المحلي، بوصفه الدليل المثالي لكبس الصورة، للحصول على الغطاء أعطى تنوعاً للأغطية المستخدمة في التضمين أكثر من الدليل العام لاسيما وأن الكتابة المغطاة تتطلب إرسال صور مختلفة عن الصور السابقة في كل اتصال. وكان بُعد المكتم الاتجاهي تأثيراً كبيراً على جودة الصورة وكمية البيانات المضمنة. كما إن استخلاص البيانات المضمنة دون الحاجة لوجود الدليل كان لها الأثر الكبير في تقليل الزمن المستغرق في العملية. أما الصور الملونة فإن تطبيق

٠	٤٣.٥٠٠١	١١٨٨٤٢	٢		
٠	٤٠.٤١١٢	٣١٥٣٣	٤	512×512	Tiger.JPG
٠	٤١.٠٠١٥	١١٨٨٤٢	٢		

إن تقليل بُعد المكتم الاتجاهي من ٤ إلى ٢ يؤدي إلى زيادة سعة التضمين القصوى بمقدار أربعة أضعاف تقريباً والسبب هو ازدياد عدد الفهارس، كما تزداد جودة الصورة المسترجعة حسب قيم PSNR. ومن خلال ملاحظة قيم PSNR يتبين أن الخوارزمية المقترحة قد ضمنت الحد الأعلى لطول النص في الغطاء من دون حدوث تشوهات ملحوظة؛ وذلك لأن التضمين في الفهارس اعتمد على تبديل الفهرست الحالي بناءً على التشابه بينه وبين الفهارس المجاورة له في الدليل. أما استخلاص البيانات المضمنة فقد كان كاملاً من دون أخطاء، حسب قيم Bit Error Rate (BER). لاحظ الجدول (٣).

استطاعت الخوارزمية تضمين صور رمادية بأبعاد جيدة تعتمد على بُعد المكتم الاتجاهي وعلى أبعاد الصورة الأصلية. وأن قيمة BER تُبين أن استخلاص الصور المضمنة كان دون أخطاء.

جدول (٣): نتائج تضمين صورة رمادية في صور JPG رمادية

BER%	PSNR in dB الغطاء/ Stego (بعد الكبس)	أبعاد الصورة السرية (Pixel)	الصورة السرية	بُعد المكتم الاتجاهي (Pixel)	الأبعاد Pixel	الصورة الأصلية
٠	٤٠.٠٠٦١	54×54	Chess	٤	٦٠٠ ×٦٠٠	Boat .JPG
٠	٤١.٠٠٠١	99×118	Girl	٢		
٠	41.7211	55×55	mandr	٤	512× 400	Phone .JPG
٠	41.4188	110×110	Boats	٢		
٠	٤٠.٩١٠١	66×62	bird	٤	512× 512	TVJ PG
٠	٤١.٦٩١١	128×127	moon	٢		

طبقت الخوارزمية على صور ملونة وكونت دليلاً منفصلاً لكل مستوى لوني ثم طبقت خوارزمية الكبس على كل مستوى لوني من RGB كل على حدة، ثم دمجت سوياً مع بعضها للحصول على صورة الغطاء. كما طبقت خوارزمية التضمين على مستوى لوني واحد وهو الأحمر إذ كان الأفضل نسبياً من المستويين الآخرين فيما يتعلق بقيمتي BER وPSNR. لاحظ الجدول (٤).

جدول (٤): نتائج تضمين نص في صور JPG ملونة

BER %	PSNR in dB الغطاء/ stego/ (بعد الكبس)	سعة التضمين القصوى (Bit)	بُعد المكتم الاتجاهي (Pixel)	الأبعاد (Pixel)	الصورة الأصلية
0.3	52.1176	7879	٤	256×256	Mirror .JPG
0.9	51.0018	٣١٥٠١	٢		
0.1	52.0011	23809	٤	600×400	Book .JPG
0.9	51.0233	100012	٢		
0.6	51.0010	7879	٤	256×256	Linux .JPG
0.5	50.7161	٣١٥٠١	٢		

- [12] Chang C. C., Lin P. Y., and Wang H. C., (2009). "Distortion-Free Steganography Mechanism with Compression to VQ Indices". *International Journal of Signal Processing, Image Processing and Pattern Recognition*, Vol. 2, No. 2, pp. 39-52.
- [13] Lin C. Y., and Chang C. C., (2006). "Hiding Data in VQ-Compressed Images Using Dissimilar Pairs". *Journal of Computers*, Vol.17, No.2, pp.3-10.
- [14] Saffar H. E., (2008). "Channel Optimized VQ: Iterative Design Algorithms". *MSc Thesis, Dept of Mathematics & Statistics, Queen's University, Kingston, Canada.*



(أ) الصورة الأصلية



(ب) الغطاء



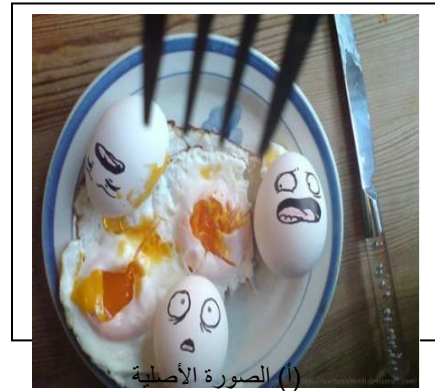
stego-image (ج)

شكل (5): تضمين نص في صورة JPG  
رمادية بُعد المكمم = 4

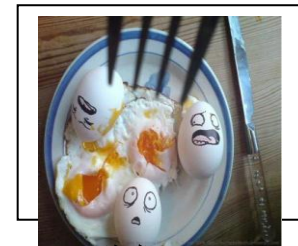
التضمين على مستوى لوني واحد يحافظ كثيراً على جودة الصورة لأنه لن يؤثر الا على المستوى اللوني ذاته.

#### المصادر

- [1] Wang Z. H., Chen K. N., Chang C. C., and Li M. C., (2009). "Hiding Information in VQ Index Tables with Reversibility". Proceedings of the International Symposium on Intelligent Information Systems and Applications, China.
- [2] Motameni H., Norouzi M., Jahandar M., and Hatami A., (2007). "Labeling Method in Steganography". *World Acad. Sci. Eng. Technol.*, Issue 30, pp. 349-354.
- [3] Amin F., Soleimanipour M., and Karimi A., (2008). "A Novel Plausible Deniability Scheme in Secure Steganography". *World Academy of Science, Engineering and Technology*, Vol. 43, pp.217-219.
- [4] Hovancak R., Foris P., & Levicky D., (2006). "Steganography Based on DWT Transform". In: *Radioelektronika 16<sup>th</sup> international Czech - Slovak scientific conference: Conference Proceedings*. Bratislava. Slovak University of Technology, Czech.
- [5] Katzenbeisser S. C., and Petitcolas F. A. P., (2000). "Information hiding techniques for steganography and Digital Watermarking". *Artech House*, Bosten, London.
- [6] Potdar V., and Chang E., (2004). "Visibly Invisible: Ciphertext as a Steganographic Carrier". *4<sup>th</sup> International Network Conference*, Plymouth U.K.
- [7] Du W. C. and Hsu W. J., (2003). "Adaptive Data Hiding Based on VQ Compressed Images". *IEEE Proc.-Vis. Image Signal Process.*, Vol. 150, No. 4, pp. 233-238.
- [8] Chang C.C., & Lin P.Y., (2004). "A Compression-Based Data Hiding Scheme Using Vector Quantization and Principal Component Analysis". *International Conference on Cyberworlds*, Tokyo, Japan.
- [9] Chang C. C., and Lu T. C., (2006). "Reversible Index-Domain Information Hiding Scheme Based on Side-Match Vector Quantization". *The Journal of Systems and Software*, Vol. 79, Issue 8, pp.1120-1129.
- [10] Shie C. S., Lin S. D., and Fang C. M.,(2006)."Adaptive Data Hiding Based on SMVQ Prediction". *IEICE Trans. Inf. & Syst.*, Vol. 89, No.1, pp.358-362.
- [11] Lin C. C., Chen S. C., and Hsueh N. L.,(2009). "Adaptive Embedding Techniques for VQ-Compressed Images". *Information Sciences*, Vol. 179, Issues 1-2, pp.140-149 .



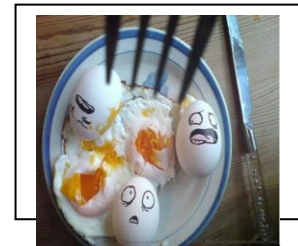
(ب) الصورة السرية



(ب) الغطاء



(ج) الصورة المسترجعة



(ج) stego-image

شكل (6): تضمين صورة رمادية في صورة JPG

ملونة بُعد المكمم = ٢

## A New VQ Technique for Steganography in JPG

Ahmed Sami Nori

Ansam Osama Abdulmajeed

### Abstract:

The present research was aimed to implement a new Steganographic algorithm for colored images in Vector Quantization (VQ) compressed domain, since the compressed image considers a secure cover for data to be embedded to avoid attention of unauthorized persons. Also, it saves the cost and time of transmission and storage. The new algorithm aimed to increase the embedding capacity with maintaining the image quality as well as reducing the time of the extraction process. The algorithm was implemented using Matlab 2009a. It embedded two bits in each index depending on mod 4, and secret key shared between sender and receiver. The algorithm used grayscale and RGB images for (JPG) of different resolutions after compression in order to be used as a cover of secret data which were either as text or image. In the research, the new algorithm provided an acceptable image quality despite of the high embedding capacity that occupy the cover image completely, Also, the codebook was not needed for data extraction which led to reducing the extraction time significantly.